



ATOMTECH[®]

Международное совещание ППСР-2019
«Проблемы прикладной спектрометрии и
радиометрии», 7 – 10 октября 2019 г.
г. Казань

*ПРИБОРЫ И ТЕХНОЛОГИИ ДЛЯ ЯДЕРНЫХ ИЗМЕРЕНИЙ И
РАДИАЦИОННОГО КОНТРОЛЯ*

ОПЫТ РАЗРАБОТКИ АППАРАТУРЫ ВОЗДУШНОЙ РАДИАЦИОННОЙ РАЗВЕДКИ

Кожемякин В. А., к.т.н., директор

Научно-производственное унитарное предприятие «АТОМТЕХ»
Республика Беларусь, г. Минск



НАЗНАЧЕНИЕ ТЕХНИЧЕСКИХ СРЕДСТВ ВОЗДУШНОЙ РАДИАЦИОННОЙ РАЗВЕДКИ МЕСТНОСТИ

- дистанционная разведка и контроль радиационной обстановки на радиоактивно зараженной местности вследствие масштабных ядерных аварий или военных инцидентов;
- мониторинг радиационной обстановки на местности в зоне АЭС и промышленных предприятий по переработке и хранению радиоактивных отходов;
- поиск, обнаружение и локализация точечных источников гамма-излучения, радиоактивно загрязненных конструкций и их элементов, радиоактивных пятен на местности;
- геофизика в части поиска месторождений урановых руд.



Задача поиска, обнаружения и локализации

Касается точечного или ограниченного источника гамма-излучения

Цель: обнаружение и определение местоположения гамма-источников, измерение уровней радиации (мощности дозы) на высоте полета с последующей оценкой максимальной мощности дозы на уровне 1 м от поверхности земли

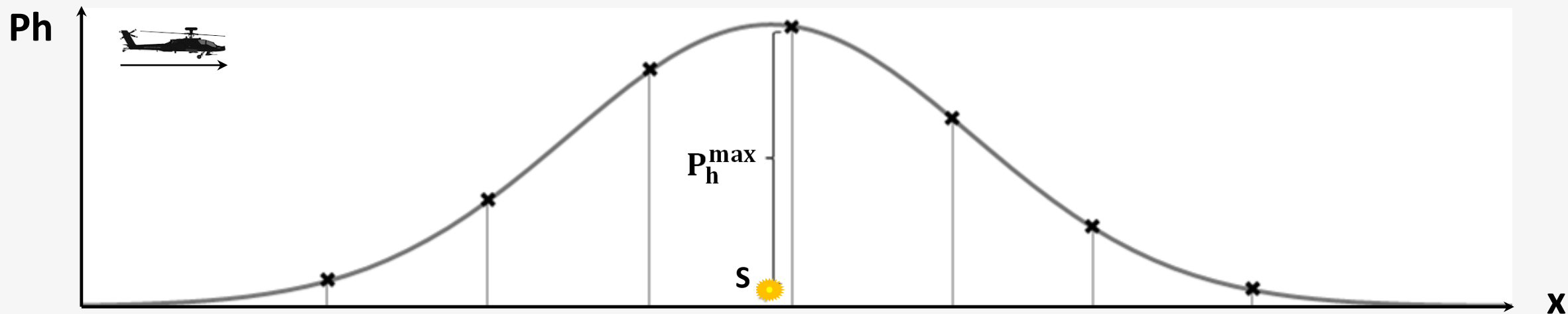


Рис. 1. S - «точечный» источник гамма-излучения

Основная измерительная задача

Касается площадного источника гамма-излучения условно бесконечного или больших радиоактивных пятен

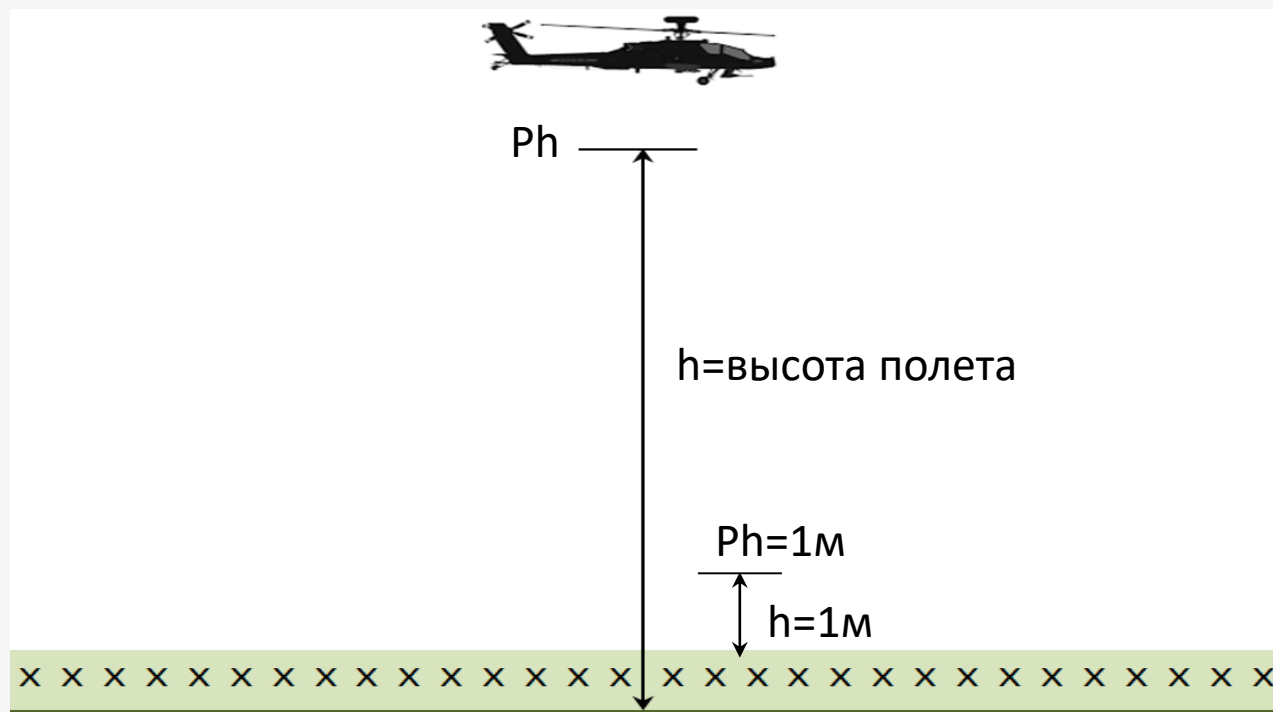


Рис. 2. Территория, загрязненная радиоактивными выпадениями



Цель:

- измерение уровней радиации на высоте полета;
- приведение измеренных значений мощности амбиентного эквивалента дозы гамма-излучения на высоте полета к уровню 1 метр над поверхностью радиоактивно загрязненной местности;
- оценка плотности поверхностного загрязнения территорий гамма-излучающими радионуклидами;
- определение границ зоны радиоактивного загрязнения;
- определение радиоизотопного состава гамма-излучателей в режиме спектрометрии (в т.ч. геофизика).



Высотный коэффициент пересчета K_h

Важнейшим элементом в задаче дистанционных измерений является определение и аппаратурная реализация алгоритма пересчета результатов измерений на высоте полета к уровню 1 м от поверхности земли через высотный коэффициент:

$$P_{h=1} = P_h \cdot K_h$$



ATOMTEX[®]

Приборы и технологии для ядерных измерений и радиационного контроля

Значения высотных коэффициентов K_h зависят от множества факторов, влияющих на процесс переноса гамма-излучения в воздушной среде: первичной энергии гамма-квантов, размеров источника гамма-излучения, высоты полета, температуры и давления воздушной среды, толщины активного слоя излучателя, растительного покрова и пр.



ATOMTEX[®]

Приборы и технологии для ядерных
измерений и радиационного контроля

Современные методы математического моделирования, в частности, метод Монте-Карло в задаче переноса гамма-излучения, используемый нами, позволяет получить хорошие по точности данные для высотных коэффициентов K_h с учетом вышеупомянутых влияющих факторов.

Аппроксимирующий алгоритм при этом выглядит следующим образом:

$$K_h^{meop} = \exp(k_1 h + k_2 h^2 + k_3 h^3 + k_4 h^4), \text{ где}$$

k_1, k_2, k_3, k_4 – коэффициенты, определяемые выбранными начальными условиями



ATOMTEX[®]

Приборы и технологии для ядерных
измерений и радиационного контроля

Историческая справка

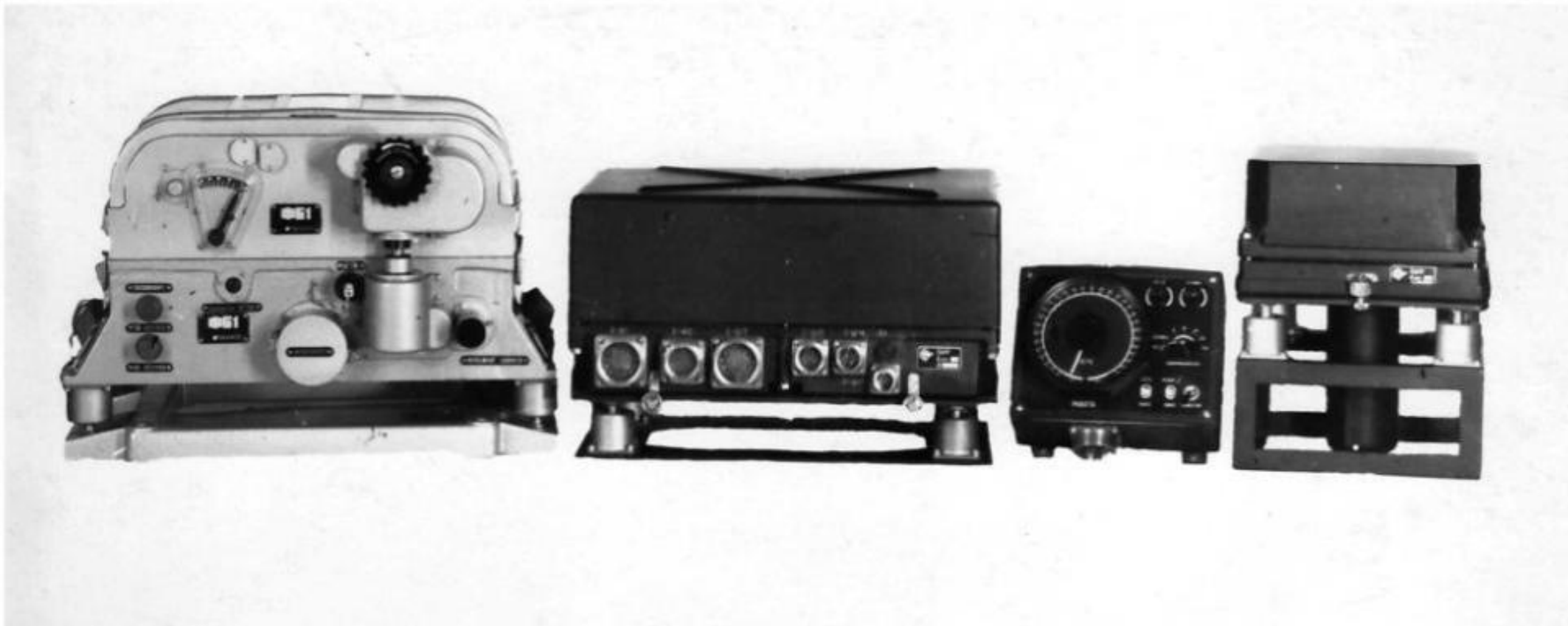
Бесценный опыт создания средств воздушной радиационной разведки как пилотируемых, так и беспилотных был получен в период с 1968 по 1992 гг., в течение которого сотрудники предприятия активно занимались их разработкой, испытаниями и внедрением в производство.



ATOMTEX[®]

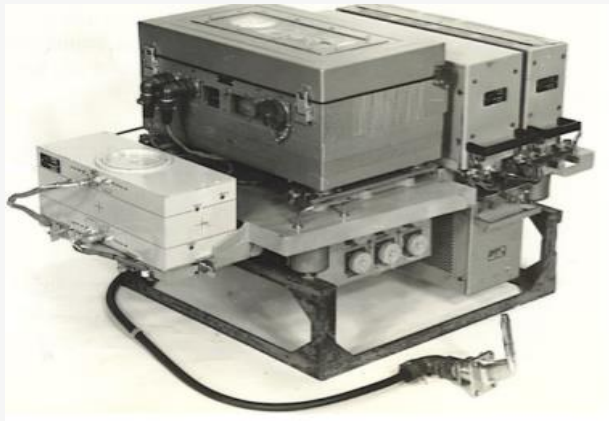
Приборы и технологии для ядерных измерений и радиационного контроля

Историческая справка (1968 г.)

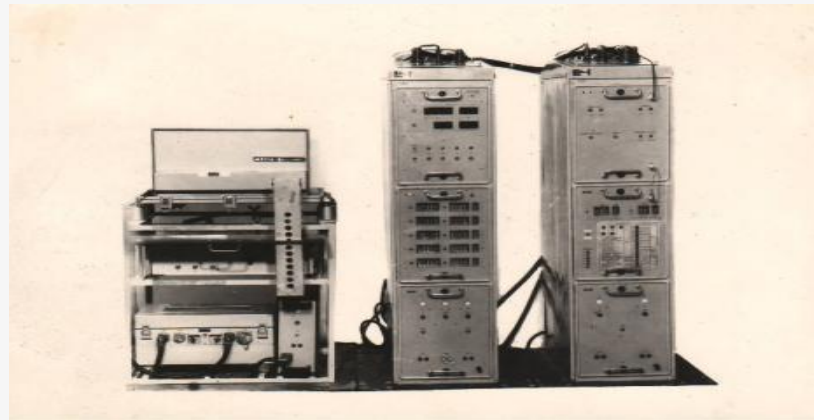


Авиационный рентгенометр «Воздух-2А» для пилотируемых летательных аппаратов

Аппаратура для беспилотных самолетов-разведчиков: Ту-143, Ту-243, Ту-141, Ту-300 и др. Создавалась в различных модификациях.



Бортовая аппаратура



**Наземная аппаратура
обработки данных**



**Контрольно-
поверочная аппаратура**



ATOMTEX[®]

Приборы и технологии для ядерных измерений и радиационного контроля

Историческая справка (1972-1986 гг.)



Tu-243 Reis-D



Tu-300 Korshun



Tu-143 Reis



Tu-141 Strizh

Блок детектирования полупроводниковый
для ДПЛА «Шмель», «Пчела-1Т», «Пчела-1М»,
а также для комплекса «Еженедельник»





ATOMTEX[®]

Приборы и технологии для ядерных измерений и радиационного контроля

Историческая справка (1991-1993 гг.)



Воздушный комплекс радиационной разведки ВКР «Еженедельник»

Бортовая аппаратура радиационной разведки для Ту-95 МС



(проект не состоялся)

Возвращение к проектированию аппаратуры для авиационных носителей состоялось в 2011 г. благодаря заказу на аэрогамма-спектрометр-дозиметр, сделанному Международной организацией по Договору о всеобъемлющем запрещении ядерных испытаний (СВТО).

Тема получила свое дальнейшее развитие в плане создания многофункциональной гамма-нейтронной аппаратуры с гибким «наращиванием» по чувствительности, предназначенной для применения в составе как любых пилотируемых авиационных, так и мобильных наземных средств.

Мобильный комплекс радиационного сканирования МКС-АТ6103



Управление с планшетного ПК
Обработка данных
Беспроводная связь
GPS
Возможность наращивания до
18 измерительных каналов



Спектрометр высокочувствительный
гамма-излучения



Спектрометр-дозиметр-
радиометр гамма- и
нейтронного излучения



ATOMTEX[®]

Приборы и технологии для ядерных
измерений и радиационного контроля

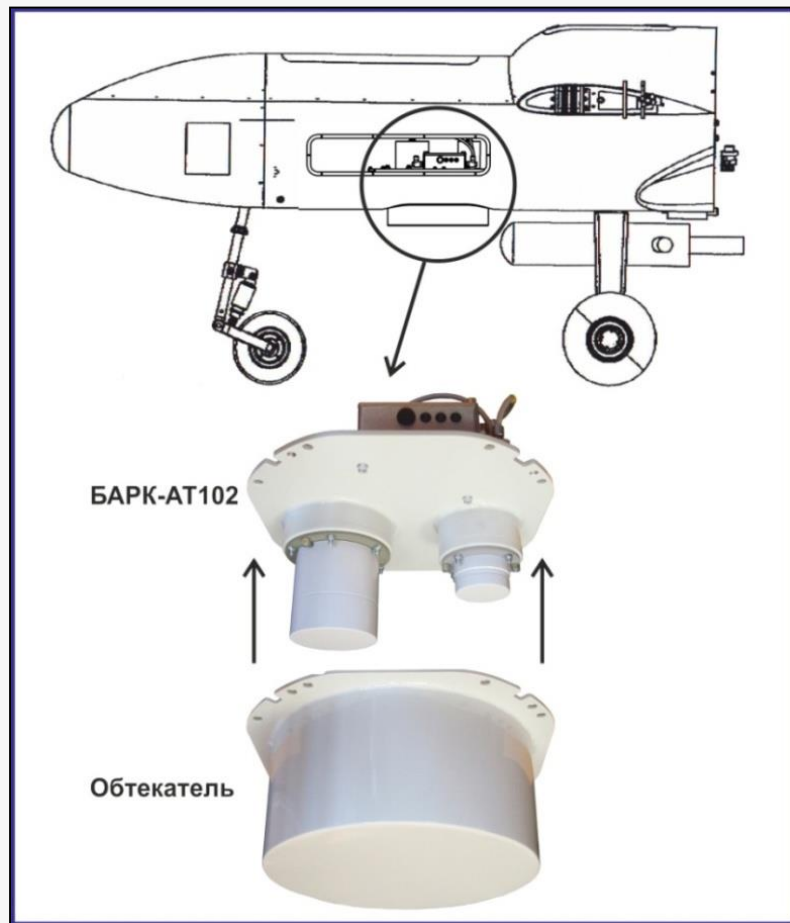
Также в 2011 г. в течение 1 года была выполнена НИР по разработке аппаратуры воздушной радиационной разведки для БПЛА «Гриф-100». В 2012 г. одновременно появились экспериментальные образцы аппаратуры БАРК-АТ102 («Гриф-100») и аппаратуры МКС-АТ6103 («СТВТО»).



ATOMTEX[®]

Приборы и технологии для ядерных измерений и радиационного контроля

Аппаратура радиационного контроля БАМК-АТ102 для беспилотных летательных аппаратов:



«Гриф-100»

также →



«Буревестник»



Основные тактико-технические характеристики БАРК-АТ102

Высота ведения разведки	от 50 до 300 м
Время установления рабочего режима	менее 2 минут
Время непрерывной работы	не менее 8 ч
Диапазон путевых скоростей	от 0 до 120 км/ч
Углы крена и тангажа относительно линии горизонта	не более $\pm 30^\circ$

Основные технические характеристики

Диапазон измерения мощности амбиентного эквивалента дозы гамма-излучения в точке размещения	30 нЗв/ч – 10 Зв/ч
Пределы допускаемой основной относительной погрешности измерения мощности дозы гамма-излучения	не более $\pm 20\%$
Диапазон приведенных значений измерения мощности дозы гамма-излучения к уровню 1 м от поверхности земли	1 мкЗв/ч – 100 Зв/ч
Диапазон энергий регистрируемого гамма-излучения на высоте полета	60 кэВ – 3 МэВ
Энергетическая зависимость чувствительности	не более $\pm 25\%$
Нестабильность показаний за время непрерывной работы	не более $\pm 5\%$
Интерфейс приема/передачи данных	RS485
Питание	От источника постоянного тока +27 В
Диапазон рабочих температур	от -35°C до $+50^\circ\text{C}$
Относительная влажность воздуха при температуре 35°C и более низких без конденсации влаги	до 98 %
Габаритные размеры, масса	310x310x264 мм, 6 кг



ATOMTEX[®]

Приборы и технологии для ядерных
измерений и радиационного контроля

За счет средств СТВТО были проведены натурные испытания МКС-АТ6103 в зоне Полесского государственного радиационно-экологического заповедника с участием представителей СТВТО, и одновременно – экспериментального образца БАРК-АТ102.

Натурные испытания над площадным источником радиоактивных выпадений

Место и условия испытаний

Местность, радиоактивно загрязненная в результате аварии на ЧАЭС, находящаяся в 30-км зоне от станции на территории Полесского государственного радиационно-экологического заповедника (ПГРЭЗ), Республика Беларусь, Гомельская обл., Хойникский р-н, недалеко от деревни Радин.

Характеристика местности: песчано-луговая, с плотным и высоким травяным покровом, редким кустарником, верхний слой почвы на глубину 5 см «пропитан» достаточно однородно радиоизотопом ^{137}Cs чернобыльского происхождения.

Время проведения испытаний – сентябрь 2012 г.

Объект испытаний

Экспериментальные образцы блоков детектирования (высококчувствительный и широкодиапазонный) интеллектуального типа из состава БАРК-АТ102, размещенные на борту вертолета Ми-2, карманный защищенный персональный компьютер «Nautiz», специально разработанное программное обеспечение – геолокационное приложение «GARM» для целей мобильного радиационного мониторинга, позволяющее получить карту радиационной обстановки.

Цель натуральных испытаний

Экспериментальное определение значений высотных коэффициентов пересчета мощности дозы гамма-излучения, измеряемой на высоте полета (от 50 до 300 м), к уровню 1 м от поверхности земли и их сопоставление с данными расчетного моделирования методом Монте-Карло.



ATOMTEX[®]

Приборы и технологии для ядерных измерений и радиационного контроля

Месторасположение зоны испытаний

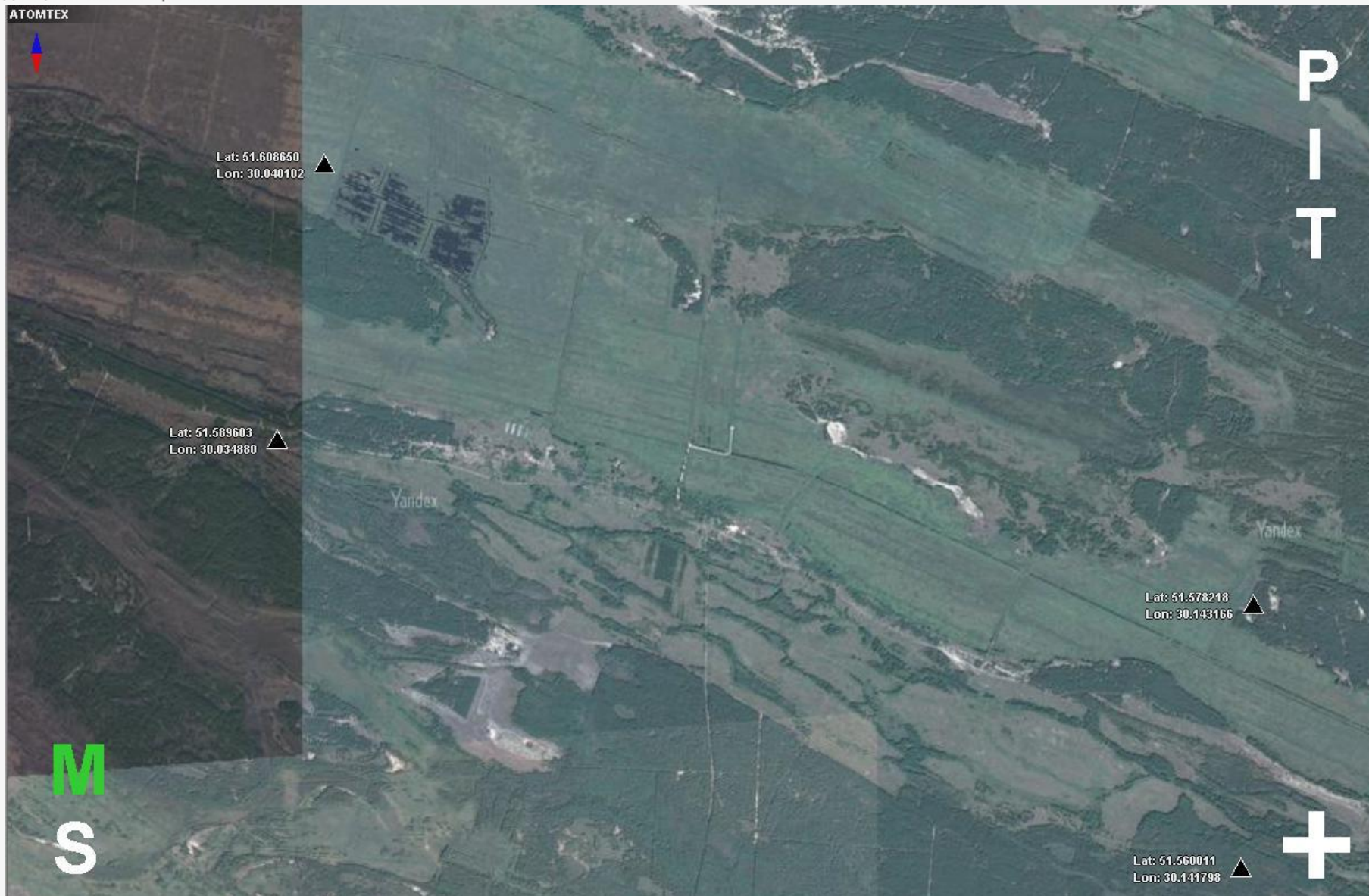




ATOMTEX[®]

Приборы и технологии для ядерных измерений и радиационного контроля

Месторасположение зоны испытаний



Порядок испытаний

- определение границ площадки воздушного радиационного сканирования с борта вертолета МИ-2;
- определение границ площадки пешеходного радиационного сканирования;
- выполнение воздушного радиационного сканирования с борта вертолета МИ-2;
- выполнение пешеходного радиационного сканирования;
- сличение и обработка результатов.



Зона пешеходного сканирования





ATOMTEX[®]

Приборы и технологии для ядерных измерений и радиационного контроля

Обеспечение наземной гамма-съемки



Спектрометр

МКС-АТ6101С

(поиск, измерение МД, идентификация радионуклидов)





ATOMTEX®

Приборы и технологии для ядерных измерений и радиационного контроля

Результаты пешеходного сканирования

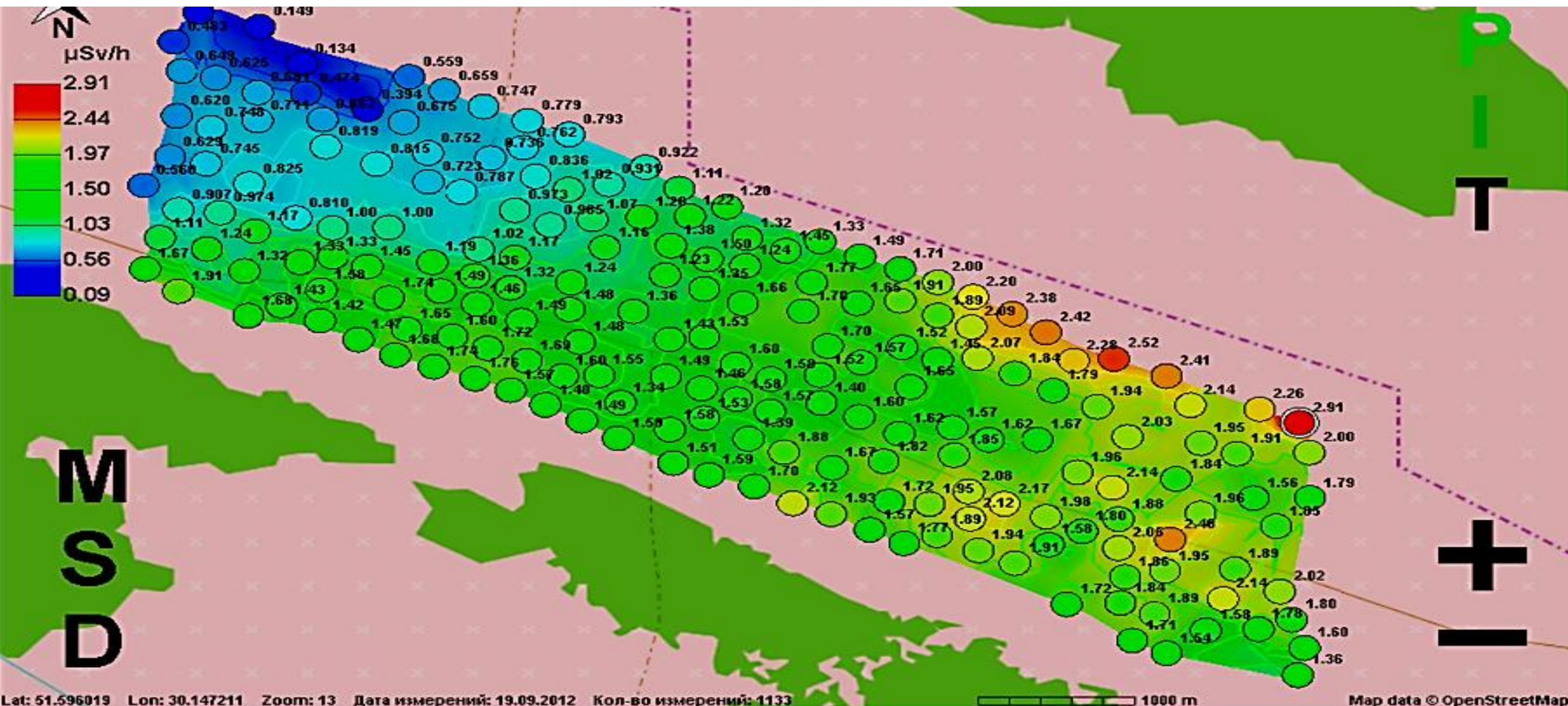
Карта мощности дозы гамма-излучения на уровне 1 м от поверхности земли (ПО «GARM»)



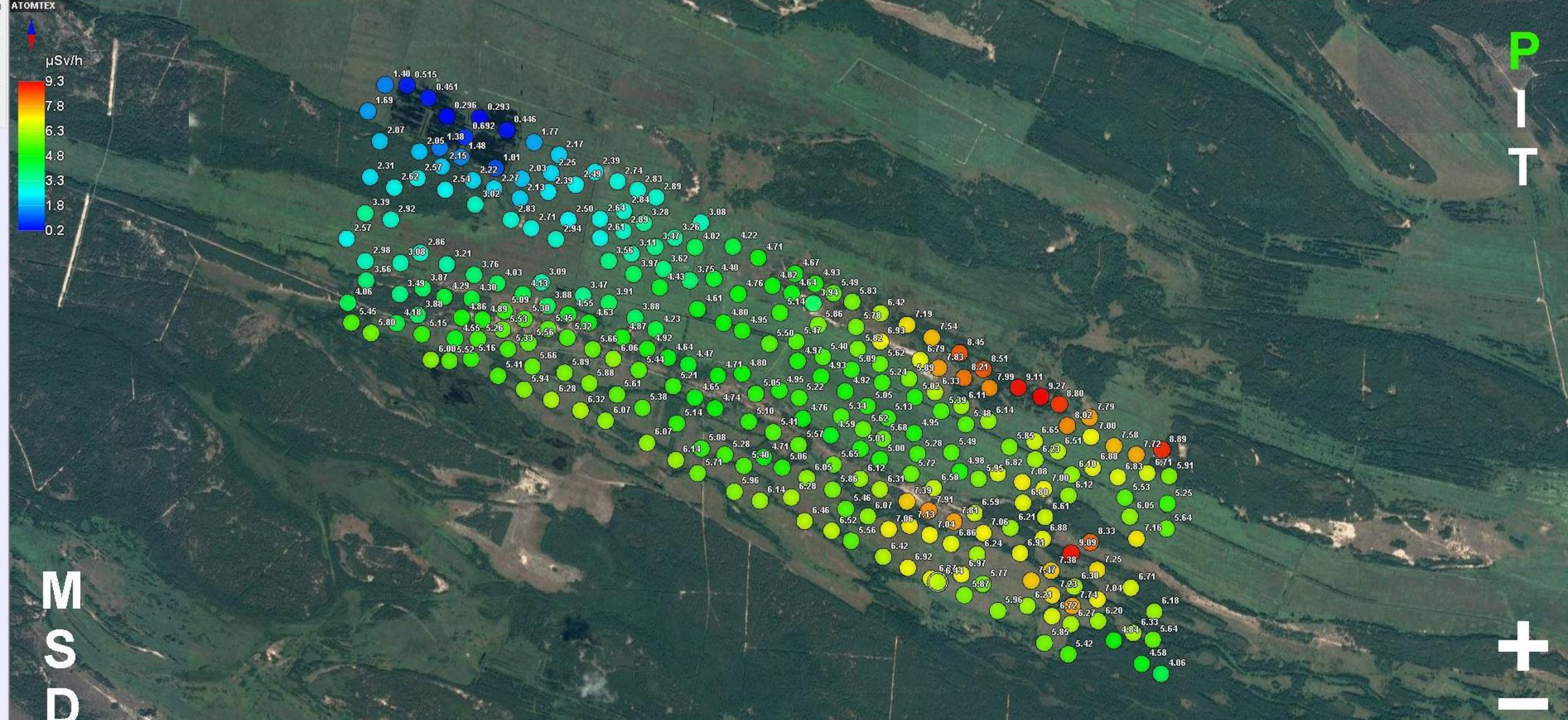
P
I
T



Проверка однородности радиоактивного загрязнения протяженного участка местности. Данные аэрогамма-съёмки в ПГРЭС. Мощность дозы гамма-излучения на высоте 100 м над поверхностью земли. Размер площадки 8 км на 2 км (ПО «GARM»)



Данные по оценке мощности дозы гамма-излучения на высоте 1 м по результатам измерений на высоте 100 м (ПО «GARM»)

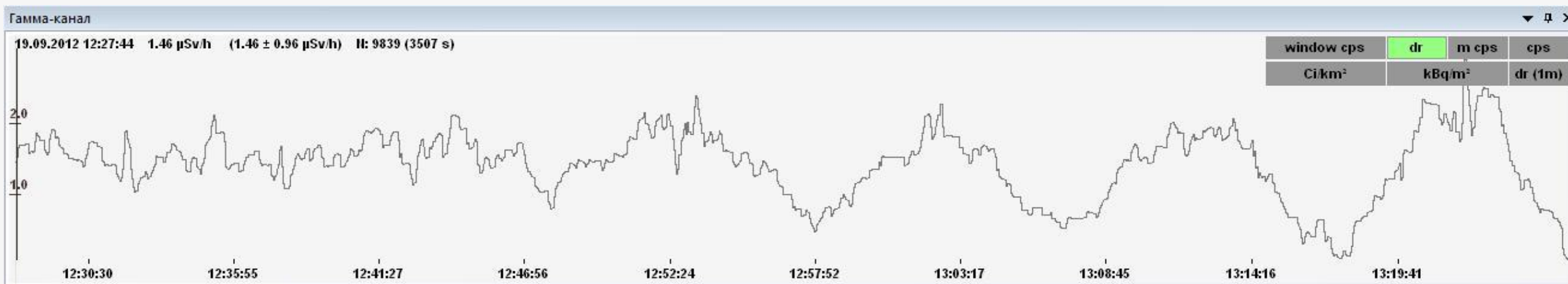




ATOMTEX[®]

Приборы и технологии для ядерных измерений и радиационного контроля

Данные изменения мощности дозы на высоте полета 100 м по маршруту движения



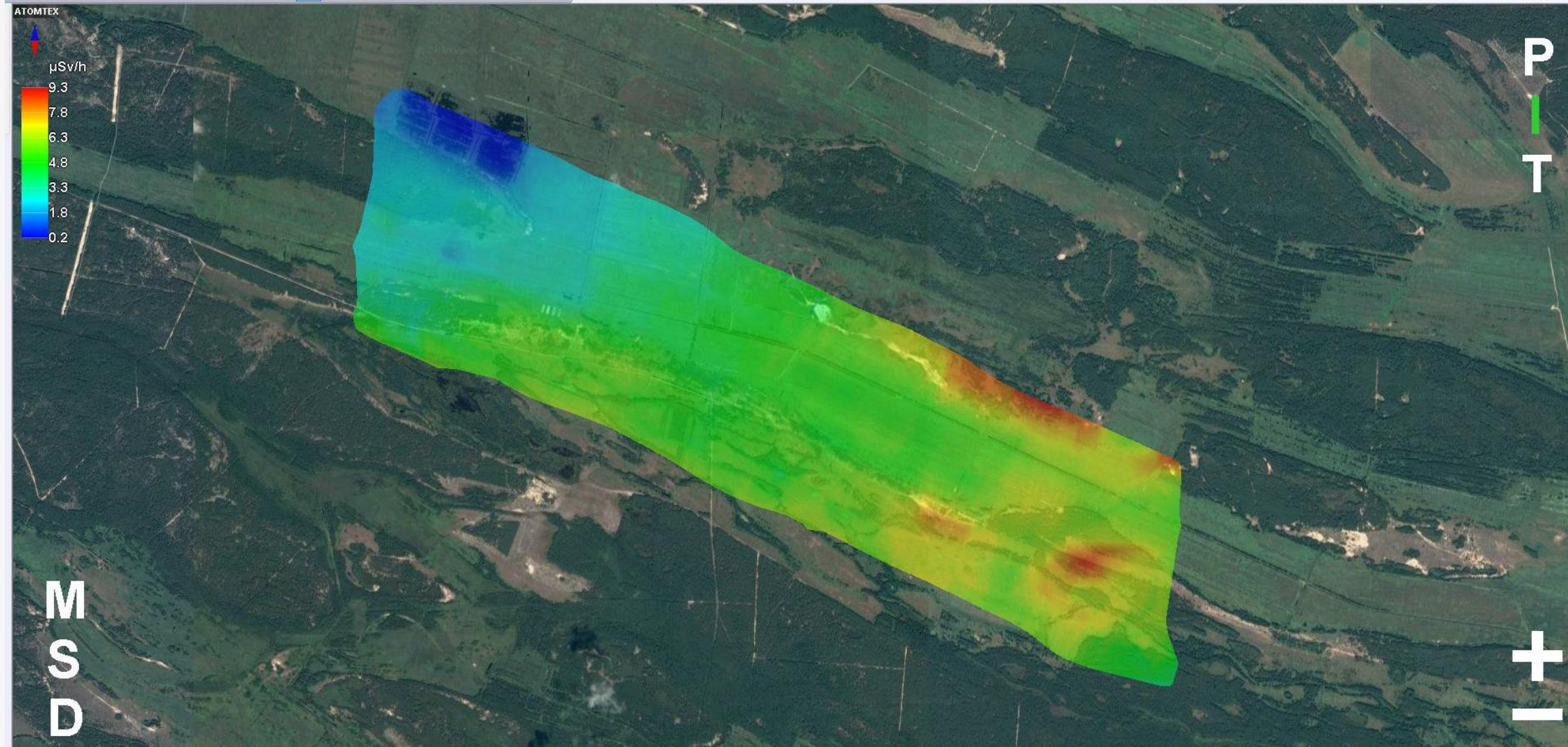


ATOMTEX®

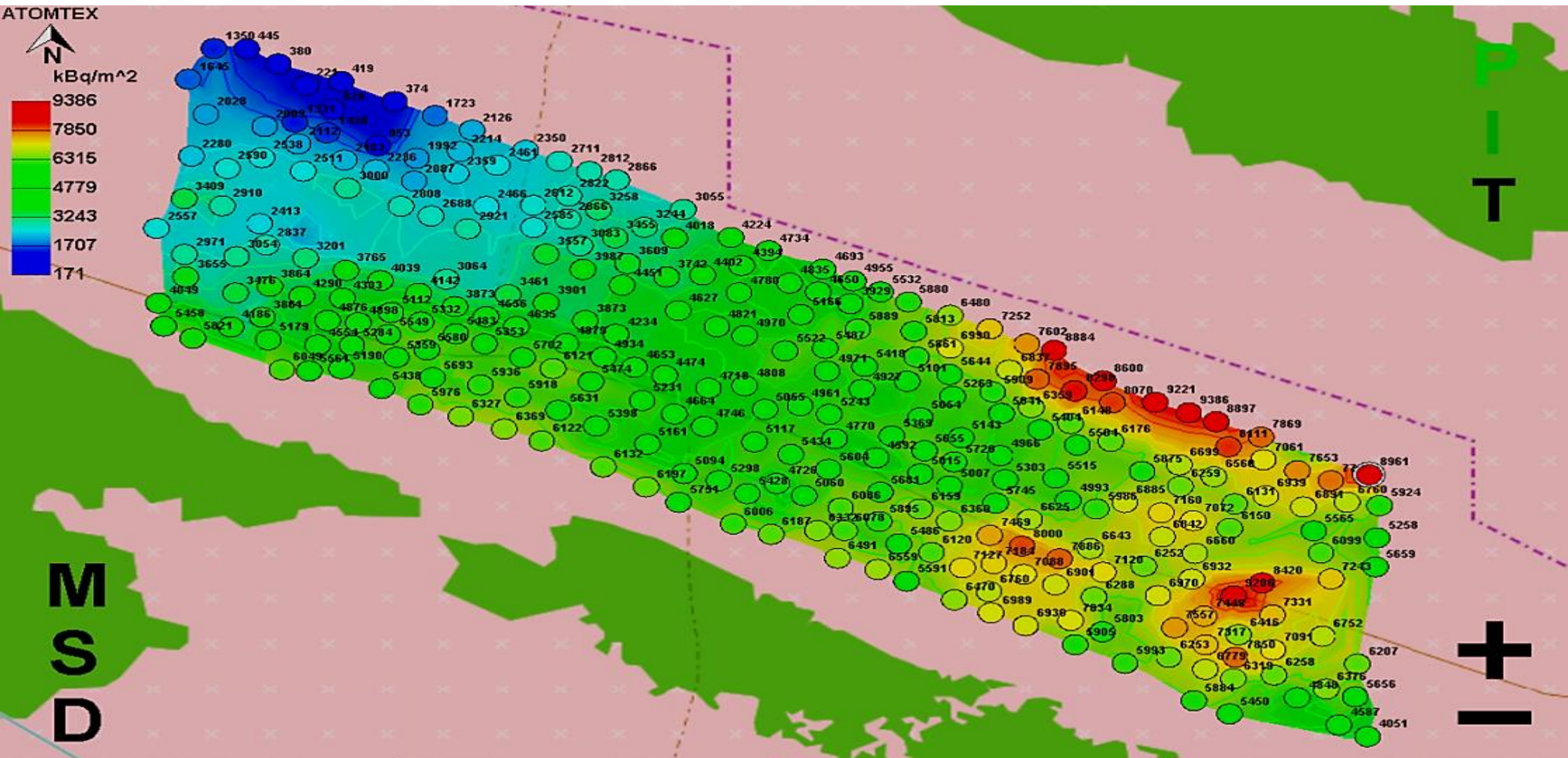
Приборы и технологии для ядерных измерений и радиационного контроля

Визуализация данных уровней радиации

Файл Инструменты Измеряемые величины Панели и окна Карта Настройки Справка



Оценка плотности загрязнения (кВq/m²) местности радионуклидом ¹³⁷Cs (средняя глубина залегания ¹³⁷Cs в почве на всей территории составляет 5 см, средняя плотность почвы 1,26 г/см³) по результатам аэрогамма-съёмки

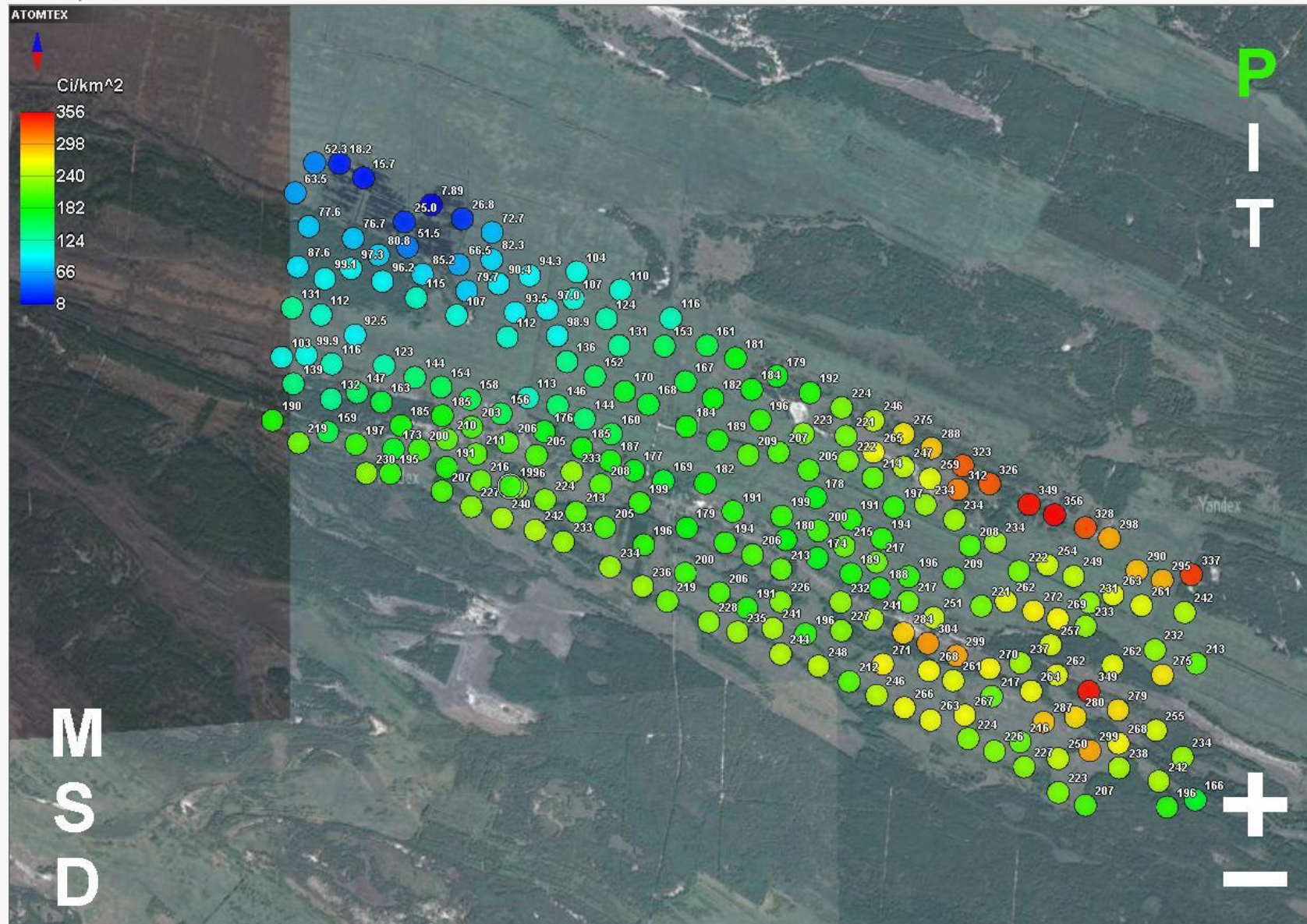




ATOMTEX[®]

Приборы и технологии для ядерных измерений и радиационного контроля

Оценка плотности загрязнения (Ci/km²)

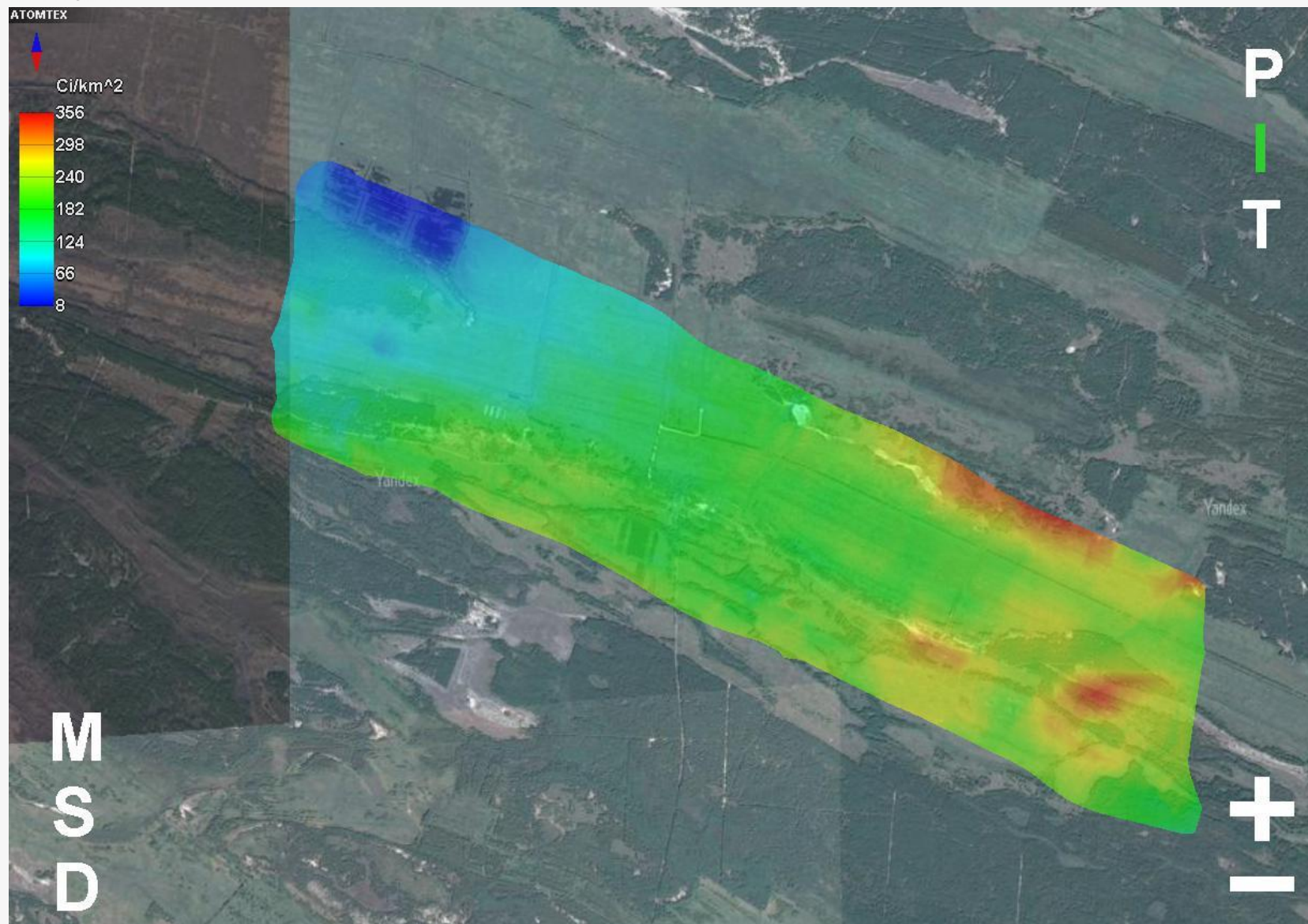




ATOMTEX[®]

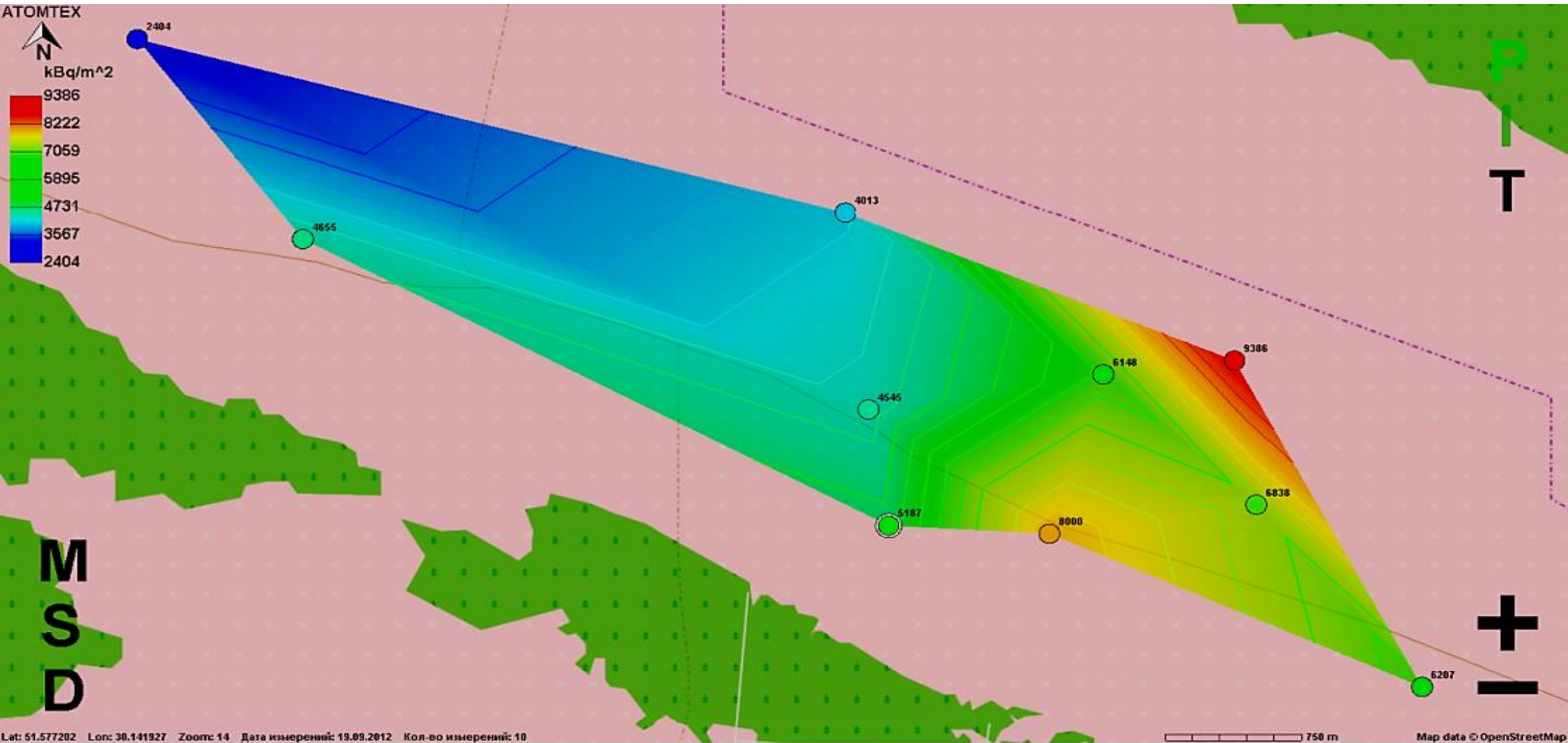
Приборы и технологии для ядерных измерений и радиационного контроля

Визуализация данных поверхностной плотности загрязнения



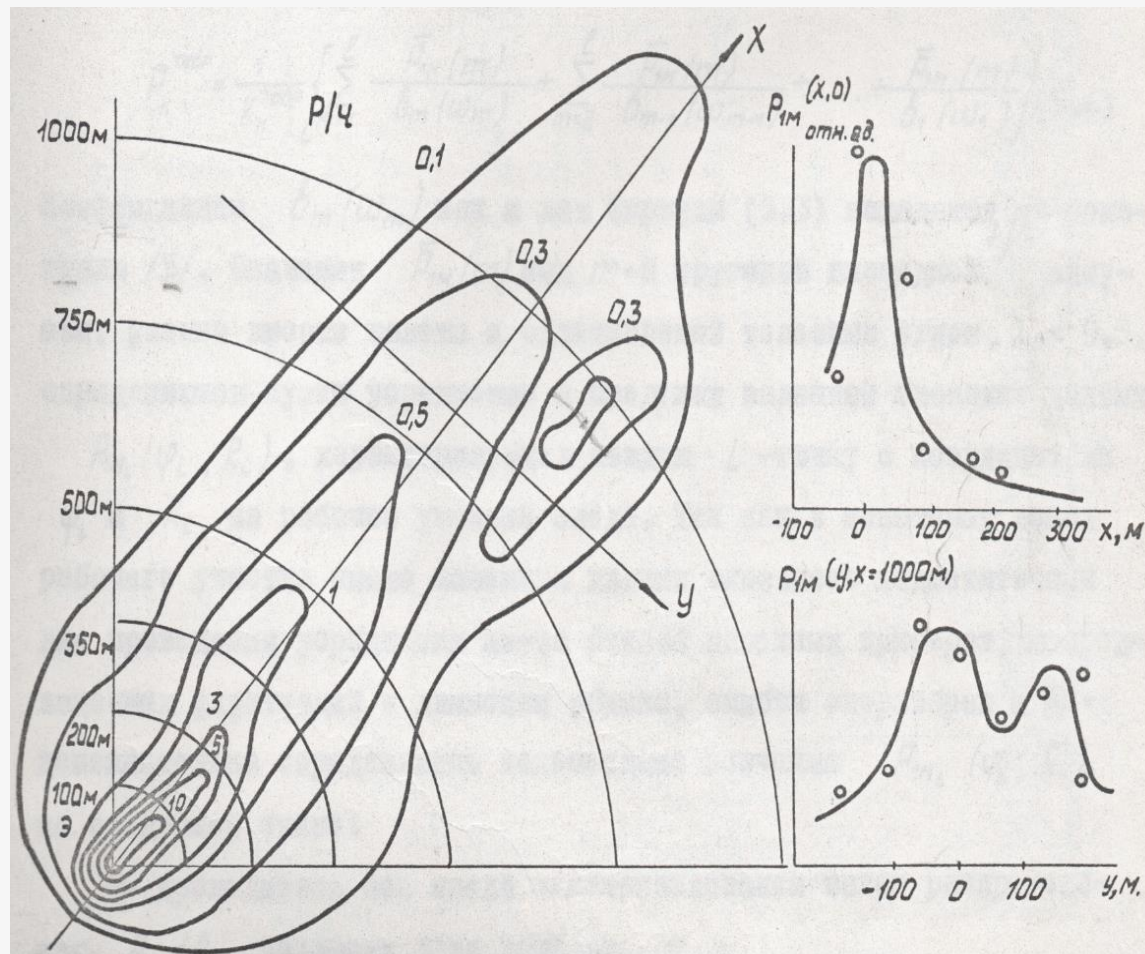
Сопоставление данных по оценке плотности поверхностного загрязнения дистанционным методом и методом пробоотбора (лабораторным анализом)

Точки аэрогамма-съемки, совпадающие с точками пробоотбора





Историческая справка



Особенности следа радиоактивных выпадений
(ядерные испытания, 1975 г., Семипалатинский полигон)

Из сопоставления данных, полученных теоретически и экспериментальным путем для высотных коэффициентов пересчета с учетом конкретных значений влияющих факторов следует их согласие в пределах $\pm 10\%$:

Высота полета , м	50	100	150	200
Относительное отклонение K_h, %	+ 6,5	+ 3,0	- 9,1	- 5,8



В таблице представлена классификация компонент суммарной погрешности, учитывающая их происхождение и характер

ПРОИСХОЖДЕНИЕ ПОГРЕШНОСТИ	ХАРАКТЕР ПОГРЕШНОСТИ		
	случайная	неисключенный остаток систематической погрешности	систематическая
МЕТОДИЧЕСКАЯ ПОГРЕШНОСТЬ $\delta_{мет}$		$\delta_{K_h} \begin{cases} \delta_{K_h}(h) \\ \delta_{K_h}(P) \\ \delta_{K_h}(t^{\circ}C) \\ \delta_{K_h}(d) \end{cases}$	$\delta_{K_h}(E_0)$
АППАРАТУРНАЯ ПОГРЕШНОСТЬ δ_{app}	$\delta_{осн}$ $\delta_{стат}$	$\delta_{внф}$ $\delta_{\eta(E)}$ $\delta_{t^{\circ}C}$	$\delta_{анз}$
ВЛИЯНИЕ РЕАЛЬНЫХ УСЛОВИЙ, ОТЛИЧАЮЩИХСЯ ОТ ИДЕАЛЬНОЙ МОДЕЛИ РАДИОАКТИВНЫХ ВЫПАДЕНИЙ НА МЕСТНОСТИ δ_{py}	δ_{xy} δ_{grad}	$\delta(K_{nn})$	$\delta_{МКРФ}$

Методическая погрешность:

Составляющие: $\delta_{K_h}(h, P, t^{\circ}C, d), \delta_{K_h}(E_0)$

Аппаратурная погрешность

Составляющие: $\delta_{\text{осн}}, \delta_{\text{стат}}, \delta_{\eta(E)}, \delta_{\text{внф}}, \delta_{\text{анз}}, \delta_{t^{\circ}C}$

Погрешность, обусловленная влиянием реальных условий, отличающихся от идеальной модели радиоактивных выпадений

Составляющие: $\delta_{\text{grad}}, \delta_{xy}, \delta(K_{nn}), \delta_{\text{МКРФ}}$

- Случайные ошибки и неисключенные остатки систематических погрешностей объединяются в основную погрешность $\Delta_{осн}$
- Систематические погрешности объединяются в дополнительную погрешность $\Delta_{доп}$
- Суммарная погрешность определяется как $\Delta_{\Sigma} = \Delta_{осн} + \Delta_{доп}$
- Границы основной погрешности $\Delta_{осн}$ определяются как, $\Delta_{осн} = K \cdot S_{\Sigma}$ причём S_{Σ} является оценкой суммарного СКО:

$$S_{\Sigma} = \sqrt{\sum_{i=1}^m \frac{\theta_i^2}{3}} + \sqrt{\sum_{i=1}^n \delta_i^{сл^2}} = \sqrt{\Delta_{но}^2 + \Delta_{сл}^2}$$

- При оценке учитываются законы распределения составляющих погрешностей



- Коэффициент K вычисляется по формуле:

$$K = \frac{t \cdot \sum_{i=1}^n \delta_i^{сл^2} + \tilde{\theta}}{\sum_{i=1}^n \delta_i^{сл^2} + \sqrt{\sum_{i=1}^m \frac{\theta_i^2}{3}}}$$

где $\tilde{\theta} = \tilde{K} \cdot \sqrt{\sum_{i=1}^m \theta_i^2}$;

t – коэффициент Стьюдента, равный 1 при доверительной вероятности равный 2 при доверительной вероятности $P=0,95$;

\tilde{K} – коэффициент, равный 1 при доверительной вероятности $P=0,68$ и равный 1,1 при доверительной вероятности $P=0,95$.

(ГОСТ Р 8.736-2011)



Суммарная погрешность, %	Высота h, м			Энергия первичного гамма-излучения E ₀ , МэВ
	50	200	300	
Суммарная среднеквадратическая погрешность $\Delta_{осч}$ (при P=0,68)	22,82	22,98	23,54	0,662
$\Delta_{\Sigma} = \Delta_{осч} + \Delta_{дон}$	21,73	27,08	48,37	0,5 – 0,9
Суммарная погрешность $\Delta_{осч}$ (при P=0,95)	46,39	46,68	47,69	0,662
$\Delta_{\Sigma} = \Delta_{осч} + \Delta_{дон}$	45,30	50,78	72,52	0,5 – 0,9



Натурные испытания по обнаружению и локализации точечных гамма-источников

Объект испытаний: аппаратура БАРК-АТ102 (БДКГ-111, БДКГ-104)

Условия испытаний

Площадка, на которой установлены 2 облучателя из войскового комплекса ПРХМ, из облучателей извлечены и установлены на земле по одному гамма-источнику с радионуклидом ^{137}Cs активностью порядка 3 Кюри каждый. Расстояние между гамма-источниками около 150 м, размещены вдоль полетного курса. Высота полета – 200 м.



ATOMTEX®

Приборы и технологии для ядерных измерений и радиационного контроля

Наземные измерения

**Дозиметр-радиометр
МКС-АТ1117М
(в составе с КПК)
для наземной
пешеходной
гамма-съемки**



БДКГ-24

Мощность дозы гамма-излучения в мкЗв/ч на высоте 1 м от точечных источников, измеренная дозиметром-радиометром МКС-АТ1117М

АТОМТЕХ



M
S
D

P
I
T
+

Lat: 53.031283
Lon: 28.201731

8753

Позиция 1. Источники: №3Т9 2.98 Ки, №107 0.00159 Ки

Lat: 53.029987
Lon: 28.201801

7580

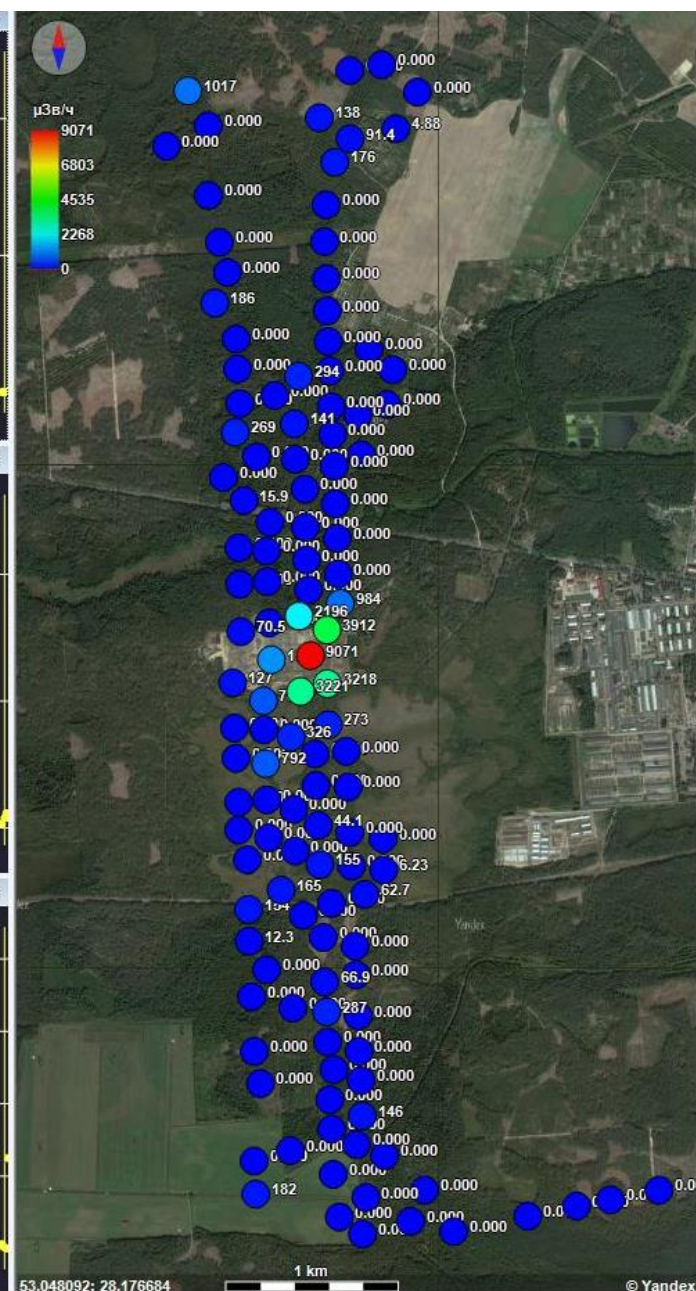
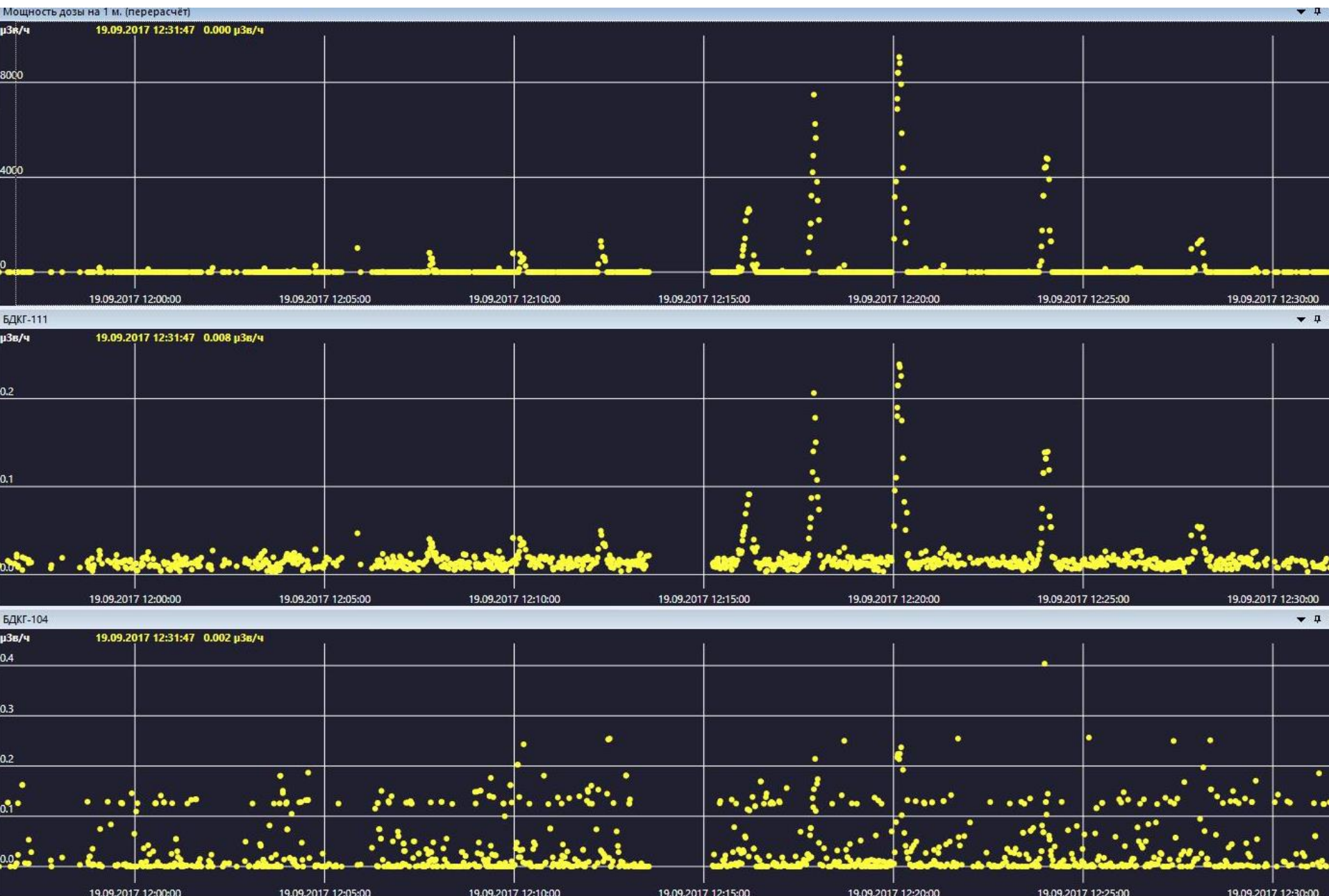
Позиция 2. Источники: №627 3.32 Ки, №093 0.001 Ки

Lat: 53.029324
Lon: 28.196974

271

Позиция 3. Источники: №А75 0.0676 Ки, №316 0.0586 Ки

Данные аэрогамма-съёмки точечных источников для высоты полета 200 м





ATOMTEX[®]

Приборы и технологии для ядерных измерений и радиационного контроля

Интеллектуальные блоки и устройства детектирования

Начиная с 2000 г. предприятием создается и выпускается постоянно расширяемая номенклатура приборов и аппаратуры для ядерных измерений и радиационного контроля, охватывающая дозиметрическое, спектрометрическое и радиометрическое направление.

Основу этих средств измерений составляет семейство интеллектуальных блоков и устройств детектирования (более 50 наименований), значительная часть из которых может эффективно использоваться в составе современных беспилотных средств воздушной радиационной разведки, а также в роботизированных системах наземного и морского базирования.

Блоки детектирования имеют различные технические характеристики, что позволяет осуществлять оптимальный выбор для конкретного беспилотного средства.

Дозиметрические блоки детектирования на основе сцинтилляционной пластмассы

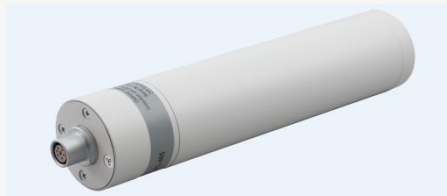
ОСНОВНЫЕ ХАРАКТЕРИСТИКИ	БДКГ-04 БДКГ-204	БДКГ-24 БДКГ-224	БДКГ-30 БДКГ-230	БДКГ-32 БДКГ-232	БДКГ-36	БДКГ-103
ДЕТЕКТОР НА ОСНОВЕ ТКАНЕЭКВИВАЛЕНТНОЙ СЦИНТИЛЛЯЦИОННОЙ ПЛАСТМАССЫ	∅30x15 мм	∅50x40 мм	∅50x40 мм	∅70x80 мм	∅89x89 мм	200x180x70 мм
ДИАПАЗОН ЭНЕРГИЙ	15 кэВ – 10 МэВ 20 кэВ – 10 МэВ	25 кэВ – 10 МэВ 40 кэВ – 10 МэВ	50 кэВ – 10 МэВ	40 кэВ – 10 МэВ	40 кэВ – 10 МэВ	80 кэВ – 3 МэВ
ДИАПАЗОН ИЗМЕРЕНИЯ МОЩНОСТИ АМБИЕНТНОГО ЭКВИВАЛЕНТА ДОЗЫ	50 нЗв/ч – 10 Зв/ч	20 нЗв/ч – 1 Зв/ч 40 нЗв/ч – 1 Зв/ч	–	20 нЗв/ч – 500 мЗв/ч	20 нЗв/ч – 200 мЗв/ч	30 нЗв/ч – 50 мЗв/ч
ДИАПАЗОН ИЗМЕРЕНИЯ МОЩНОСТИ ПОГЛОЩЕННОЙ ДОЗЫ	–	–	20 нГр/ч – 1 Г/ч 40 нГр/ч – 1 Г/ч	–	–	–
ПРЕДЕЛ ОСНОВНОЙ ОТНОСИТЕЛЬНОЙ ПОГРЕШНОСТИ ИЗМЕРЕНИЙ	±20%	±20%	±20%	±20%	±10%	±20%
ЧУВСТВИТЕЛЬНОСТЬ К ГАММА- ИЗЛУЧЕНИЮ ¹³⁷ Cs, имп·с ⁻¹ /мкЗв·ч ⁻¹	70	530	600 имп·с ⁻¹ /мкГр·ч ⁻¹	1700	2600	15000
ЭНЕРГЕТИЧЕСКАЯ ЗАВИСИМОСТЬ ОТНОСИТЕЛЬНО ЭНЕРГИИ 662 кэВ	БДКГ-04: ±25% (15кэВ – 3МэВ) ±40%(3 – 10 МэВ) БДКГ-204: -45%...+35%(20 – 60 кэВ) ±25% (60 кэВ – 3 МэВ) ±50% (3 – 10 МэВ)	БДКГ-24: ±25% (15кэВ – 3МэВ) ±40%(3 – 10 МэВ) БДКГ-224:±25%(30кэВ – 3МэВ) ±50% (3 – 10 МэВ)	БДКГ-30: ±25% (50кэВ – 3МэВ) ±50% (3 – 10 МэВ) БДКГ-230:±25%(50кэВ – 3МэВ) ±50% (3 – 10 МэВ)	±25% (40 кэВ – 3 МэВ) ±40%(3 – 10 МэВ)	±30% (40 – 60 кэВ) ±15% (60 кэВ – 3 МэВ) ±20% (3 – 10 МэВ)	±40%
ВРЕМЕННАЯ ДИСКРЕТНОСТЬ ИЗМЕРЕНИЯ	0,1 с	0,1 с	0,1 с	0,1 с	0,1 с	0,1 с
СТЕПЕНЬ ЗАЩИТЫ	IP64 IP57	IP64 IP67	IP64 IP67	IP64 IP67	IP64	IP64
ИНТЕРФЕЙС	RS232 RS485	RS232 RS485	RS232 RS485	RS232 RS485	RS232	RS232 RS485
ДИАПАЗОН РАБОЧИХ ТЕМПЕРАТУР	-40...+50°C -40...+60°C	-40...+50°C -40...+55°C	-40...+50°C -40...+55°C	-40...+50°C -40...+55°C	-50...+50°C	-40...+55°C
ОТНОСИТЕЛЬНАЯ ВЛАЖНОСТЬ ВОЗДУХА (≤35°C БЕЗ КОНДЕНСАЦИИ ВЛАГИ)	≤98%	≤98%	≤98%	≤95% ≤98%	≤95%	≤95%
ГАБАРИТНЫЕ РАЗМЕРЫ, МАССА	∅60×200мм, 0.46 кг ∅60×230мм, 0.55 кг	∅60×205мм, 0.5 кг ∅60×250мм, 0.6 кг	∅60×207мм, 0.6 кг ∅60×250мм, 0.6 кг	∅80×245мм, 0.78 кг ∅76×245мм, 0.9 кг	∅93×250 мм, 1.2 кг	360×220×80 мм, 5 кг

Спектрометрические блоки детектирования на основе сцинтилляторов NaI(Tl)

ОСНОВНЫЕ ХАРАКТЕРИСТИКИ	БДКГ-201М	БДКГ-203М	БДКГ-205М	БДКГ-11М БДКГ-211М	БДКГ-19М БДКГ-219М
ДЕТЕКТОР NaI(Tl)	Ø25x16 мм	Ø25x40 мм	Ø40x40 мм	Ø63x63 мм	Ø63x160мм
ДИАПАЗОН ЭНЕРГИЙ	20 кэВ – 3 МэВ	20 кэВ – 3 МэВ	20 кэВ – 3 МэВ	20 кэВ – 3 МэВ	20 кэВ – 3 МэВ
ДИАПАЗОН ИЗМЕРЕНИЯ МОЩНОСТИ АМБИЕНТНОГО ЭКВИВАЛЕНТА ДОЗЫ (мД)	50 нЗв/ч – 1 мЗв/ч	30 нЗв/ч – 500 мкЗв/ч	30 нЗв/ч – 300 мкЗв/ч	30 нЗв/ч –150 мкЗв/ч 30 нЗв/ч –120 мкЗв/ч	0,03 – 50 мкЗв/ч
ПРЕДЕЛ ОСНОВНОЙ ОТНОСИТЕЛЬНОЙ ПОГРЕШНОСТИ ИЗМЕРЕНИЯ МД			±20%		
ЭНЕРГЕТИЧЕСКАЯ ЗАВИСИМОСТЬ ОТНОСИТЕЛЬНО ЭНЕРГИИ 662 кэВ	±20% (40 кэВ – 3 МэВ)	±20% (40 кэВ – 3 МэВ)	±20% (40 кэВ – 3 МэВ)	±15% (15 кэВ – 3 МэВ) ±20% (40 кэВ – 3 МэВ)	±15% (15 кэВ – 3 МэВ) ±20% (40 кэВ – 3 МэВ)
ЧУВСТВИТЕЛЬНОСТЬ К ГАММА- ИЗЛУЧЕНИЮ ¹³⁷ Cs, (имп·с ⁻¹ /мкЗв·ч ⁻¹)	165	400	800	2200 2450	6000
ВРЕМЕННАЯ ДИСКРЕТНОСТЬ ИЗМЕРЕНИЯ	1/3 с	1/3 с	1/3 с	1/3 с	1/3 с
ТИПОВОЕ ЭНЕРГЕТИЧЕСКОЕ РАЗРЕШЕНИЕ ДЛЯ ЭНЕРГИИ 662 кэВ (¹³⁷ Cs)	8,5 %	8 %	7,5 %	7,5 %	8 %
СТЕПЕНЬ ЗАЩИТЫ	IP68	IP68	IP68	IP54 IP68	IP54 IP68
ИНТЕРФЕЙС		USB / RS232 / RS485 / Bluetooth (через адаптер интерфейсный)			
ДИАПАЗОН РАБОЧИХ ТЕМПЕРАТУР	-35...+55°C	-35...+55°C	-35...+55°C	-20...+50°C -35...+55°C	-20...+50°C -35...+55°C
ОТНОСИТЕЛЬНАЯ ВЛАЖНОСТЬ ВОЗДУХА (≤35°C БЕЗ КОНДЕНСАЦИИ ВЛАГИ)	≤98%	≤98%	≤98%	≤95% ≤98%	≤95% ≤98%
ГАБАРИТНЫЕ РАЗМЕРЫ, МАССА	Ø63×313мм, 1 кг	Ø63×333мм, 1 кг	Ø63×333мм, 1 кг	Ø78×320мм, 1.7 кг Ø90×350мм, 2 кг	Ø76×350мм, 3 кг Ø90×430мм, 3.3 кг

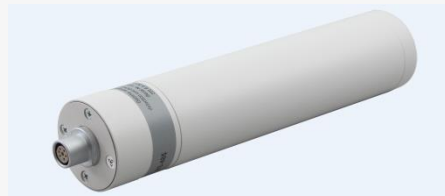
Внешний вид некоторых БД

БДКГ-201М



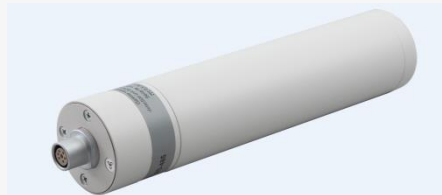
Ø 63×313 мм, 1 кг

БДКГ-203М



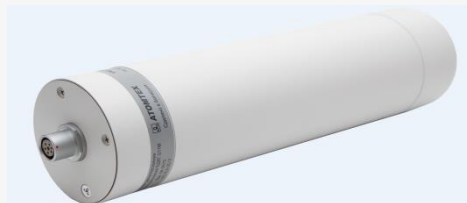
Ø 63×333 мм, 1 кг

БДКГ-205М



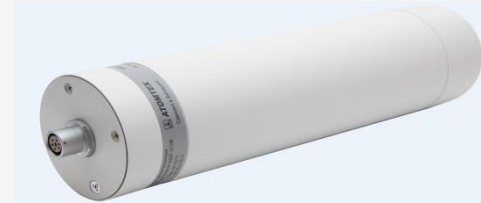
Ø 63×333 мм, 1 кг

БДКГ-211М



Ø 90×350 мм, 2 кг

БДКГ-219М



Ø 90×430 мм, 3.3 кг

**БДКГ-04
БДКГ-204М**



Ø 60×200 мм, 0.46 кг
Ø 60×230 мм, 0.55 кг

**БДКГ-24
БДКГ-224М**



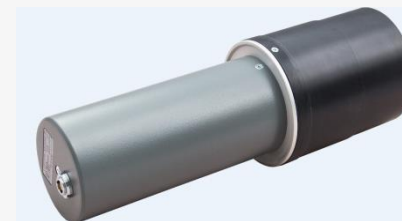
Ø 60×205 мм, 0.5 кг
Ø 60×250 мм, 0.6 кг

**БДКГ-30
БДКГ-230**



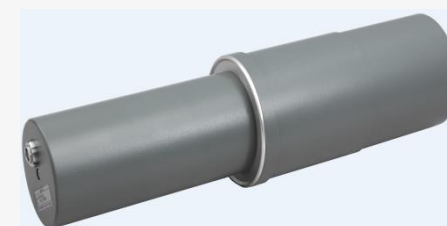
Ø 60×207 мм, 0.6 кг
Ø 60×250 мм, 0.6 кг

БДКГ-32



Ø 80×245 мм, 0.78 кг

БДКГ-36



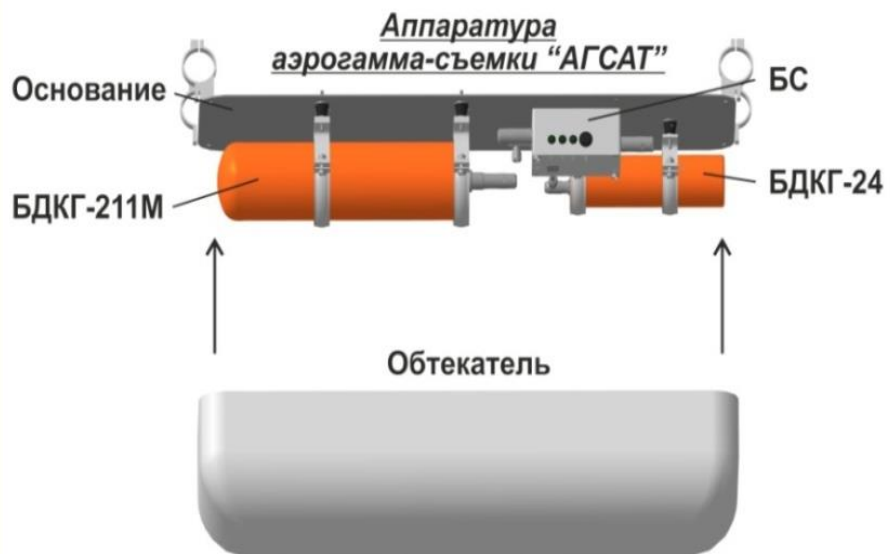
Ø 80×320 мм, 1.2 кг



ATOMTEX[®]

Приборы и технологии для ядерных измерений и радиационного контроля

Применение интеллектуальных БД



БДКГ-103

←

Аппаратура радиационного контроля для беспилотного вертолета «INDELLA»

**ATOMTEX**[®]

Приборы и технологии для ядерных измерений и радиационного контроля

Основные технические характеристики БДКГ-103

Диапазон путевых скоростей	от 0 до 100 км/ч	Чувствительность к гамма-излучению источника ¹³⁷ Cs	15000 имп·с-1/мкЗв·ч-1
Высота ведения аэрогамма-съемки	от 25 м до 300 м (возможно от 1 м)	Временная дискретность измерения	0,1 с
Рекомендуемая высота аэрогамма-съемки, при которой обеспечивается наилучшая достоверность результатов измерения МД	от 50 м до 150 м	Время отклика измерительных каналов во всем диапазоне МД на высоте полета	1 с
Суммарная погрешность измерений МД, приведенных к 1 м от поверхности земли, в диапазоне высот от 50 м до 150 м	менее 30%	Радиационный ресурс	100 Зв
Суммарная погрешность измерений на высоте полета	менее 20%	Интерфейс приема/передачи данных	RS232 / RS485
Диапазон измерения МД гамма-излучения на высоте полета	30 нЗв/ч – 100 Зв/ч	Электропитание от источника постоянного тока	12В / 24В / 27В
Диапазон получаемых данных о мощности дозы на уровне 1 м от поверхности земли при высотах съемки от 50 м до 150 м	0,2 мкЗв/ч – 200 Зв/ч	Диапазон рабочих температур	-40...+55°C
Диапазон энергий регистрируемого гамма-излучения на высоте полета	80 кэВ – 3 МэВ	Относительная влажность воздуха при температуре +35°C и более низких без конденсации влаги	≤95%
Энергетическая зависимость относительно энергии 662 кэВ (¹³⁷ Cs)	±40%	Габаритные размеры Масса	360x220x80 мм 5 кг



ATOMTEX[®]

Приборы и технологии для ядерных измерений и радиационного контроля

Малоразмерные БПЛА



БДКГ-24



БДКГ-24

**дозиметрические блоки детектирования
БДКГ-24 для БМЛА планерного типа («ZALA
AERO GROUP», концерн «Калашников»;
НПО «Тайфун», Росгидромет)**

БДКГ-24 для октокоптера «ZALA AERO GROUP»

Эксперимент в условиях неоднородного радиоактивного загрязнения территории

Блок детектирования БДКГ-24 в составе октокоптера компании «ZALA AERO GROUP» (концерн «Калашников») по инициативе компании испытан специалистами ВНИИТФ (ГК «Росатом») на одном из объектов ГК «Росатом» над радиоактивно-загрязненной территорией и объектами, т. е. в условиях высоких градиентов мощности дозы. Получены хорошие результаты для неоднородного излучателя, дополнившие ранее приведенные данные для случаев однородного протяженного и точечного излучателей.



ATOMTEX[®]

Приборы и технологии для ядерных измерений и радиационного контроля

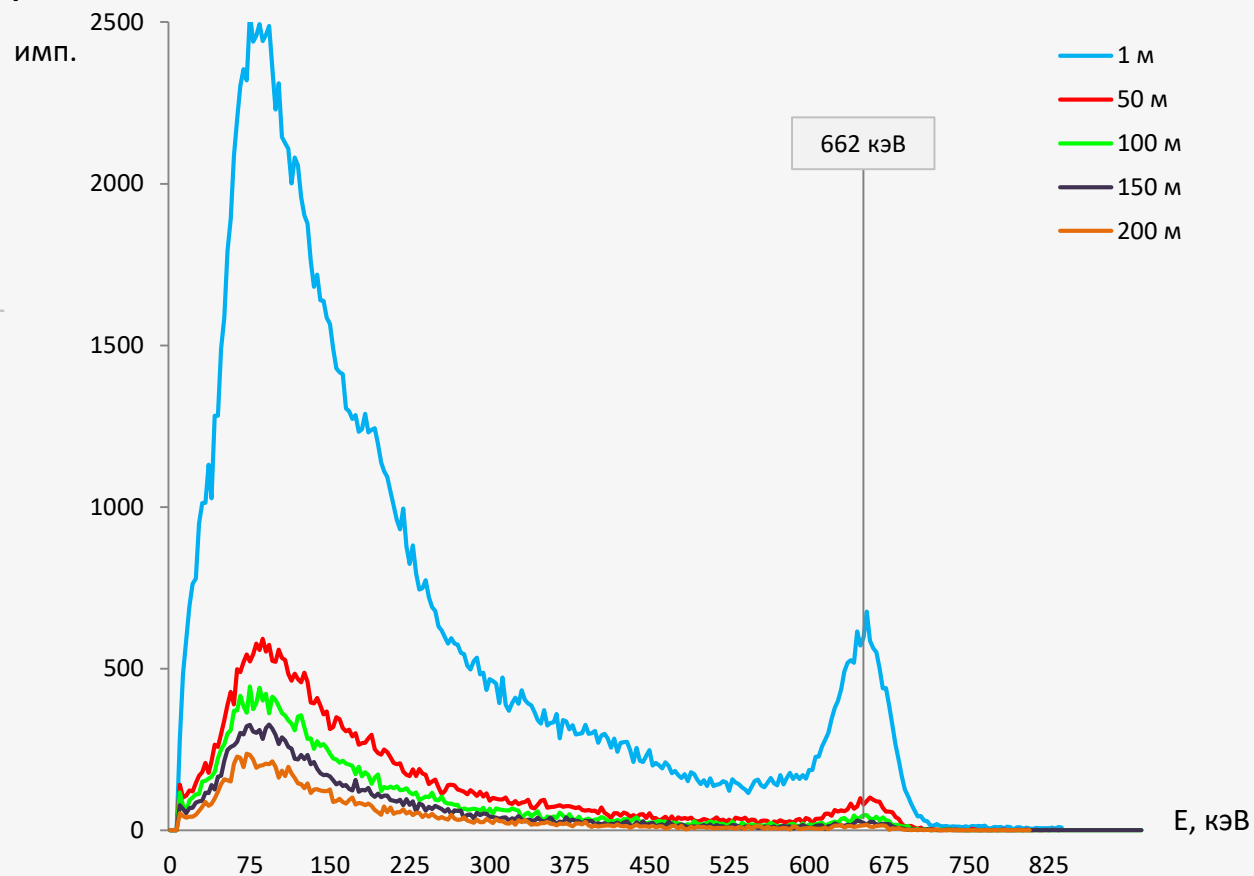
Задача спектрометрии и идентификации радионуклидов

Цель: Оценка радиоизотопного состава



БДКГ-11М

дозиметр-спектрометр БДКГ-11М
для октокоптера «БАС» (Болгария)



Аппаратурные спектры гамма-излучения на высотах 1, 50, 100, 150 и 200 м над участком местности, загрязненной радионуклидом ¹³⁷Cs



В перспективе – применение интеллектуальных блоков детектирования гамма-излучения в составе малоразмерных БПЛА:

- 1) «Бусел-10»
 - 2) «Суперкам-С100»
 - 3) «Суперкам-С350»
- } дозиметрия
- 4) Аэрогамма-съёмка месторождений урана в геофизике в составе мультикоптеров
 - 5) Спектрометрический БД на основе сцинтиллятора $\text{SrI}_2(\text{Eu})$ с одновременным выводом измеренного спектра и мощности дозы с последующей идентификацией радионуклидов (энергетическое разрешение менее 3,5 %)



СПАСИБО ЗА ВНИМАНИЕ!

Республика Беларусь
220005, Минск, ул. Гикало, 5
Тел./Факс: +375-17-292-81-42

info@atomtex.com
www.atomtex.com